

## บรรณานุกรม

- คมสัน จิระภัทรศิลป์. (2548). รายงานการวิจัยเรื่องการวิเคราะห์และปรับปรุงความสามารถกระบวนการการทำแบบหล่อทรายขึ้นเพื่อพัฒนาคุณภาพงานหล่อโลหะ. กรุงเทพฯ: คณะครุศาสตร์อุตสาหกรรมและเทคโนโลยี มหาวิทยาลัยเทคโนโลยีพระจอมเกล้าธนบุรี.
- ชาญณรงค์ สายแก้ว, & พนิดา ศรีประยา. (2552). การปรับปรุงคุณภาพชิ้นส่วนพลาสติกในการผลิตอุปกรณ์ไฟฟ้า. วารสารวิชาการพระจอมเกล้าพระนครเหนือ, 19(3), 394-406.
- ชาญณรงค์ สายแก้ว. (2553). สถิติและการออกแบบการทดลองเชิงวิศวกรรม. ขอนแก่น: สำนักพิมพ์คณะวิศวกรรมศาสตร์ มหาวิทยาลัยขอนแก่น.
- ณรงค์ รัตนะ. (2530). เทคโนโลยีงานโลหะอุตสาหกรรมหล่อ. กรุงเทพฯ: ศูนย์ถ่ายทอดเทคโนโลยี สำนักงานปลัดกระทรวงวิทยาศาสตร์ เทคโนโลยีและการพลังงาน.
- นิกร มหกรรมโกลา, & พิพัฒน์ สุจิตธรรมกุล. (2539). กรรมวิธีหล่อโลหะ. ปทุมธานี: สำนักพิมพ์สกายบุ๊กส์.
- บรรเจิด แสงจันทร์, กอบสิน ทวีสิน, & นุชธนา พูลทอง (2544). การเปรียบเทียบคุณสมบัติทรายหล่อแต่ละแหล่งในประเทศไทย. วารสารวิจัยและพัฒนา มจร., 24(1), 57-68.
- ปารเมศ ชูติมา. (2545). การออกแบบการทดลองทางวิศวกรรม. กรุงเทพฯ: สำนักพิมพ์แห่งจุฬาลงกรณ์มหาวิทยาลัย.
- ไพโรจน์ วิริยจารี. (2547). การออกแบบการทดลองขั้นสูง. เชียงใหม่: คณะอุตสาหกรรมเกษตร มหาวิทยาลัยเชียงใหม่.
- มนัส สติรจินดา. (2520). รายงานการวิจัยเรื่องทรายทำแบบหล่อ. กรุงเทพฯ: คณะวิศวกรรมศาสตร์ จุฬาลงกรณ์มหาวิทยาลัย.
- สมาคมอุตสาหกรรมหล่อโลหะไทย. (2543). ทำเนียบโรงงานอุตสาหกรรมหล่อโลหะไทย ประจำปี 2543. กรุงเทพฯ: สมาคมอุตสาหกรรมหล่อโลหะไทย.
- สุภชัย ประเสริฐสกุล. (2547). เทคโนโลยีงานหล่อโลหะ 1 ฉบับมาตรฐาน. อุบลราชธานี: ไซน์ แอนด์ เอ็นจีเนียริง.
- สุนิมนต์ ตั้งสกุล. (2544). รายงานสภาวะอุตสาหกรรมเหล็กหล่อ. กรุงเทพฯ: กรมส่งเสริมอุตสาหกรรม.
- สุนทร รุณรงค์, วิสุทธิ์ พีชมงคล, วัชรา ชนิษฐาบุตร, & วิวัฒน์ ตันติขจรโกศล. (2534). เทคโนโลยีการผลิตเหล็กหล่อเบื้องต้น. กรุงเทพฯ: สำนักพิมพ์ภาพพิมพ์.
- หริส สุตะบุตร, & เคนยิ จิยอิวา. (2543). หล่อโลหะ. พิมพ์ครั้งที่ 5. กรุงเทพฯ: สำนักพิมพ์ดวงกมล.

อิศรพงษ์ พงษ์ศิริกุล. (2545). การวิเคราะห์ผลทางสถิติโดยใช้โปรแกรมสำเร็จรูปสำหรับอุตสาหกรรมเกษตร. พิมพ์ครั้งที่ 3. เชียงใหม่: คณะอุตสาหกรรมเกษตร มหาวิทยาลัยเชียงใหม่.

Anderson, M.J., & Whitcomb, P.J. (2005). **RSM Simplified: Optimizing Process Using Response Surface Methods for Design of Experiments**. New York: Productivity Press.

Andrade, R.M. et al. (2005). Foundry sand recycling in the troughs of blast furnaces: a technical note. **Journal of Materials Processing Technology**, (159), 125-134.

Benny Karunakar, D., & Datta, G.L. (2007). Controlling green sand mould properties using artificial neural networks and genetic algorithms-A comparison. **Applied Clay Science**, (37), 58-66.

Chang, Y., & Hocheng, H. (2001). The flowability of bentonite bonded green molding sand. **Journal of Materials Processing Technology**, (113), 238-244.

Danko, J., & Danko, R. (2005). Mechanical reclamation treatment of used silica foundry sand at extra-low and ambient temperatures. **Materials Science**, 11(4), 344-347.

Deringer, G., & Suich, R. (1980). Simultaneous Optimization of Several Response Variables. **Journal of Quality Technology**, (12), 214-219.

Duèe, C., Dèsanglois, F., Lebecq, I., Moreau, G., Leriche, A., & Follet-Houttemane C. (2009). Mixture designs applied to glass bioactivity evaluation in the Si-Ca-Na system. **Journal of Non-Crystalline Solids**, (355), 943-950.

Guharaja, S., Noorul Haq, A., & Karuppanan, K.M. (2006). Optimization of green sand casting process parameters by using Taguchi's method. **International Journal of Advanced Manufacturing Technology**, (30), 1040-1048.

Kundu, R.R., & Lahiri, B.N. (2008). Study and statistical modelling of Green Sand Mould properties using RSM. **International Journal of Materials and Product Technology**, 31(2/3/4), 143-158.

Lucarz, M. (2006). The condition of silica sand grains surface subjected to reclamation treatment. **Metalurgija**, 45(1), 37-40.

Makino, H., Hirata M., & Hadano Y. (2003). Computer simulation and optimization of sand filling using the distinct element method. **WFO Technical Forum 2003**, 1-17.

- Menezes, R.R., Malzac Neto, H.G., Santana, L.N.L., Lira, H.L., Ferreira, H.S., & Neves, G.A. (2008). Optimization of wastes content in ceramic tiles using statistical design of mixture experiments. *Journal of the European Ceramics Society*, (28), 3027-3039.
- Montgomery, D.C. (1999). Experimental Design for Product and Process Design and Development. *Journal of the Royal statistical Society*, 48(2), 159-177.
- Myers, R.H., & Montgomery, D.C. (2002). *Response Surface Methodology: Process and Product Optimization Using Designed Experiments*. 2<sup>nd</sup> Edition. New York: John Wiley & Sons.
- Orumwense, F.F.O. (2002). Moulding properties of synthetic sand mixtures-A comparative study. *Scandinavian Journal of Metallurgy*, (31), 100-106.
- Paluszkiwicz, C., Holtzer, M., & Bobrowski, A. (2008). FTIR analysis of bentonite in moulding sands. *Journal of Molecular Structure*, (880), 109-114.
- Pearce, J.T.H., บัญชา ธนบุญสมบัติ, ธนาภรณ์ โกรษภู่, วิลาสินี วุฒิศิรกุล, อภิชาติ เหล็กงาม, & อีรพงษ์ หาญวิโรจน์กุล. (2544). *ข้อบกพร่องในงานหล่อโลหะสาเหตุและวิธีการแก้ไข*. กรุงเทพฯ: ศูนย์เทคโนโลยีและวัสดุแห่งชาติ สำนักงานพัฒนาวิทยาศาสตร์และเทคโนโลยีแห่งชาติ.
- Scheffé, H. (1958). Experiments with mixtures. *Journal of the Royal Statistical Society*, Series B. (20), 344-366.
- Simon, M. J., Lagergren, E. S., Snyder, K. A. (1997). Concrete Mixture Optimization using statistical mixture design methods. *Proceedings of the PCI/FHWA International Symposium on High Performance Concrete*. Louisiana: Federal Highway Administration.
- StatEase, Inc. (2005). *Design Expert 7 User's Guide*. Minneapolis: StatEase.
- Toussaint, P.M. et al. (2000). *Method of improving the properties of reclaimed sand used for the production of foundry moulds and cores*. USA: [n.p.].
- Zanetti, M.C., & Fiore, S. (2002). Foundry process: the recovery of green moulding sands for core operations. *Resources Conservation and Recycling*, (38), 243-254.

ภาคผนวก

**ภาคผนวก ก**  
**แสดงข้อมูลจากการออกแบบการทดลองส่วนผสมแบบ D-Optimal**

ตารางที่ ก. 1 ข้อมูลการออกแบบส่วนผสมแบบ D-optimal ของค่าสมบัติของแบบหล่อทราย

Std	Run	Type	Component 1 A:A %	Component 2 B:B %	Component 3 C:C %	Response 1 GCS lb/in <sup>2</sup>	Response 2 permeability number	Response 3 cost bath/Kg.
1	4	Vertex	94.95	0.05	5	2.96	55.3	2.13
2	11	CentEdge	92.475	5	2.525	7.6	32.3	2.47
3	5	CentEdge	92.475	2.525	5	4.53	51.3	2.27
4	8	Vertex	99.9	0.05	0.05	5.8	63	2.24
5	3	Vertex	94.95	5	0.05	7	19.3	2.53
6	7	CentEdge	97.425	0.05	2.525	3	61.6	2.19
7	9	CentEdge	97.425	2.525	0.05	6.53	38.3	2.38
8	2	Center	94.95	2.525	2.525	5.3	48	2.33
9	10	Interior	96.188	2.525	1.287	7.03	47.3	2.36
10	6	AxialCB	94.95	3.763	1.287	8.9	33.3	2.43
11	1	Vertex	90	5	5	4.7	49.6	2.42
12	12	Vertex	90	5	5	6.8	55	2.42
13	13	Vertex	94.95	0.05	5	2.2	64	2.13
14	14	CentEdge	97.425	0.05	2.525	2.7	68	2.19

**ภาคผนวก ข**  
**แสดงข้อมูลการทดสอบความแข็งของชิ้นงานหล่อทดสอบ**

ตารางที่ ข. 1 ค่าการทดสอบความแข็งของชิ้นงานหล่อในอัตราส่วนผสมของแบบหล่อทรายของการแพร่กระจายความคลาดเคลื่อนน้อยที่สุด 2 ผลตอบสนอง

ชิ้นงานหล่อ	ผลการทดลอง (HRC)			ค่าเฉลี่ยความแข็งแต่ละชิ้นงาน (HRC)
	ครั้งที่ 1	ครั้งที่ 2	ครั้งที่ 3	
1	18.3	18.7	18.6	18.53
2	18.6	19.0	18.5	18.70
3	17.4	17.7	17.6	17.57
4	18.9	18.8	19.0	18.90
5	18.3	18.4	18.2	18.30

ตารางที่ ข. 2 ค่าการทดสอบความแข็งของชิ้นงานหล่อในอัตราส่วนผสมของแบบหล่อทรายของการแพร่กระจายความคลาดเคลื่อนน้อยที่สุด 3 ผลตอบสนอง

ชิ้นงานหล่อ	ผลการทดลอง (HRC)			ค่าเฉลี่ยความแข็งแต่ละชิ้นงาน (HRC)
	ครั้งที่ 1	ครั้งที่ 2	ครั้งที่ 3	
1	17.5	17.2	17.2	17.30
2	17.2	17.0	17.1	17.10
3	18.0	17.7	17.9	17.87
4	17.8	18.2	18.0	18.00
5	17.4	17.6	17.5	17.50

ตารางที่ ข. 3 ค่าการทดสอบความแข็งของชิ้นงานหล่อในอัตราส่วนผสมของแบบหล่อทรายแบบเดิมของโรงงานกรณีศึกษา

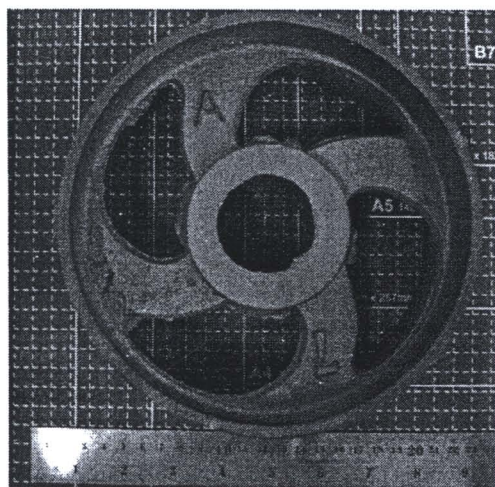
ชิ้นงานหล่อ	ผลการทดลอง (HRC)			ค่าเฉลี่ยความแข็งแต่ละชิ้นงาน (HRC)
	ครั้งที่ 1	ครั้งที่ 2	ครั้งที่ 3	
1	16.7	16.6	16.4	16.57
2	17.3	16.9	16.8	17.00
3	17.6	17.3	17.8	17.57
4	17.6	17.9	17.9	17.80
5	16.6	16.7	16.6	16.63

ภาคผนวก ค

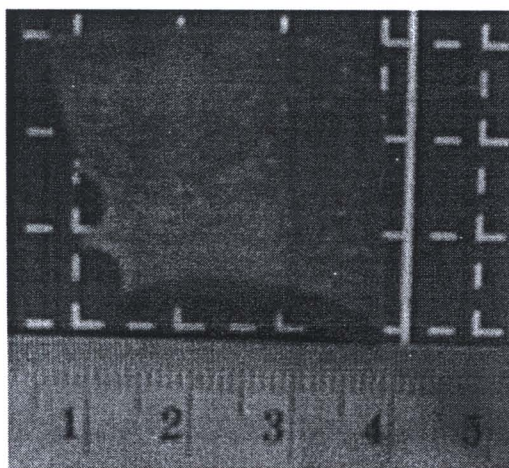
ชิ้นงานหล่อทดสอบและเครื่องมือที่ใช้ในการทดสอบ

### 1. ชิ้นงานหล่อทดสอบ

ในกระบวนการเตรียมชิ้นงานหล่อทดสอบที่ได้จากแบบหล่อทรายแต่ละประเภทของส่วนผสมนั้นจะมีการเตรียมสภาวะในการหล่อให้อยู่ในขอบเขตเดียวกันกับระบบการผลิตจริงของโรงงานกรณีศึกษา โดยทำการหล่อชิ้นงานเป็นผลิตภัณฑ์พู่เลย์สายพานขนาดเส้นผ่านศูนย์กลาง 7 นิ้ว สูง 3 นิ้ว แสดงดังภาพที่ ค. 1 จากนั้นทำการตัดแกนของชิ้นงานพู่เลย์ให้มีขนาดเท่ากับความกว้าง 2.8 เซนติเมตร ยาว 3 เซนติเมตร สูง 1 เซนติเมตร แสดงดังภาพที่ ค. 2 เพื่อใช้ในการตรวจสอบสภาพผิวภายนอกและการทดสอบความแข็งของชิ้นงานหล่อในแต่ละประเภทของส่วนผสมแบบหล่อทราย



ภาพที่ ค. 1 สายพานพู่เลย์ขนาดเส้นผ่านศูนย์กลาง 7 นิ้ว และสูง 3 นิ้ว



ภาพที่ ค. 2 ชิ้นงานทดสอบขนาด 2.8 x 3 x 1 เซนติเมตร

## 2. เครื่องมือที่ใช้ในการทดสอบชิ้นงานหล่อ

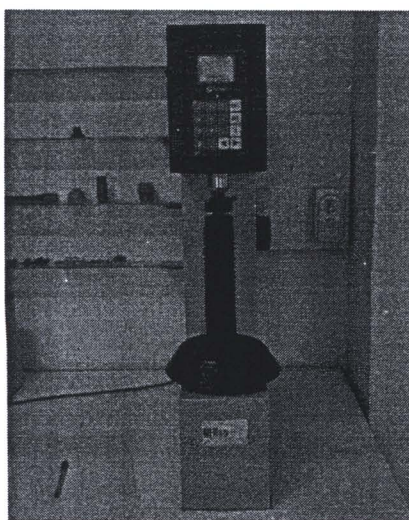
### 2.1 เครื่องมือตรวจสอบผิวภายนอกของชิ้นงานหล่อ

เครื่องมือที่ใช้ตรวจสอบสภาพผิวภายนอกของชิ้นงานหล่อคือ กล้องจุลทรรศน์สเตอริโอซูม (zoom stereomicroscope) ยี่ห้อ OLYMPUS รุ่น SZX9



ภาพที่ ค. 3 เครื่องมือตรวจสอบสภาพผิวภายนอกของชิ้นงานหล่อ

### 2.2 เครื่องมือทดสอบความแข็งของชิ้นงานหล่อ



ภาพที่ ค. 4 เครื่องมือทดสอบความแข็งของชิ้นงานหล่อ

## ประวัติผู้เขียน

นายเสริมศักดิ์ เวียงวิเศษ เกิดเมื่อวันที่ 25 เมษายน พ.ศ. 2528 ที่จังหวัดขอนแก่น สำเร็จการศึกษาระดับมัธยมศึกษาตอนต้นและตอนปลายที่โรงเรียนศรีกระนวนวิทยาคม จังหวัดขอนแก่น สำเร็จการศึกษาระดับปริญญาตรี คณะวิศวกรรมศาสตร์ สาขาวิชาวิศวกรรมอุตสาหการ มหาวิทยาลัยขอนแก่น เมื่อปี พ.ศ. 2551 และในปีเดียวกันได้ศึกษาต่อในระดับปริญญาโท คณะวิศวกรรมศาสตร์ สาขาวิชาวิศวกรรมอุตสาหการ มหาวิทยาลัยขอนแก่น โดยมีผู้ช่วยศาสตราจารย์ ดร.ชาญณรงค์ สายแก้ว เป็นที่ปรึกษาวิทยานิพนธ์



